Изолированное основание
Корпус промышленного стандарта
Упрощенная механическая конструкция, быстрая сборка
Прижимная конструкция

Однопозиционный Диодный Модуль МД1-950-44-E

Средний прямой ток	I_{FAV}	950 A	
Повторяющееся импульсное обратное напряжение	U_{RRM}	4000...4400 В	
U_{RRM}, В	4000	4200	4400
Класс по напряжению	40	42	44
T_j, °C	–40...+160		

МД1

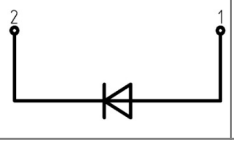

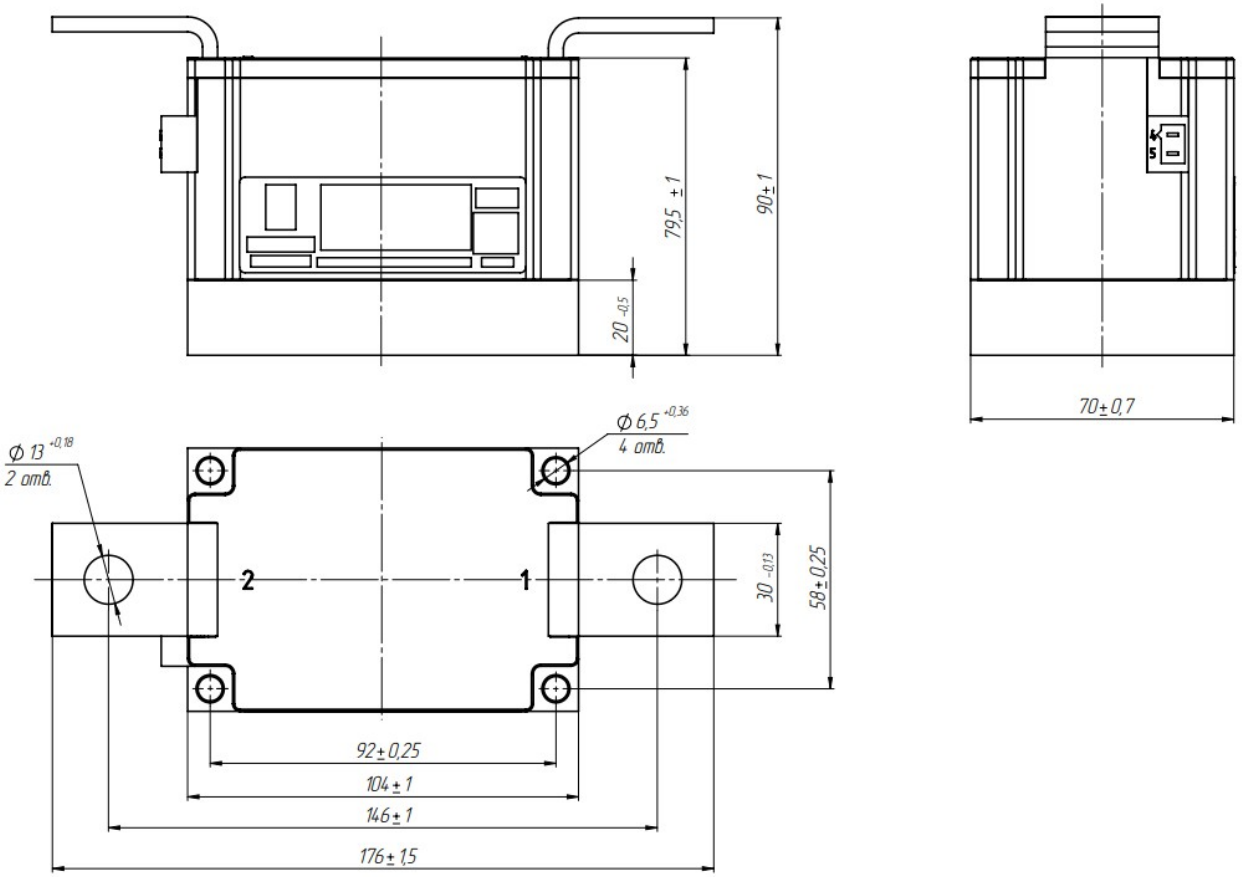

ПРЕДЕЛЬНО ДОПУСТИМЫЕ ЗНАЧЕНИЯ ПАРАМЕТРОВ

Обозначение и наименование параметра		Ед. изм.	Значение	Условия измерения	
Параметры в проводящем состоянии					
I_{FAV}	Максимально допустимый средний прямой ток	А	950	T_c=100 °C; 180 эл. град. синус; 50 Гц	
I_{FRMS}	Действующий прямой ток	А	1491	T_c=100 °C; 180 эл. град. синус; 50 Гц	
I_{FSM}	Ударный ток	кА	34.0 41.0	T_j=$T_{j\,max}$ T_j=25 °C	180 эл. град. синус; t_p=10 мс; единичный импульс; U_R=0 В;
			36.0 43.0	T_j=$T_{j\,max}$ T_j=25 °C	180 эл. град. синус; t_p=8.3 мс; единичный импульс; U_R=0 В;
I^2t	Защитный показатель	$A^2c\cdot10^3$	5700 8400	T_j=$T_{j\,max}$ T_j=25 °C	180 эл. град. синус; t_p=10 мс; единичный импульс; U_R=0 В;
			5300 7600	T_j=$T_{j\,max}$ T_j=25 °C	180 эл. град. синус; t_p=8.3 мс; единичный импульс; U_R=0 В;
Блокирующие параметры					
U_{RRM}	Повторяющееся импульсное обратное напряжение	В	4000...4400	$T_{j\,min}$< T_j <$T_{j\,max}$; 180 эл. град. синус; 50 Гц	
U_{RSM}	Неповторяющееся импульсное обратное напряжение	В	4100...4500	$T_{j\,min}$< T_j <$T_{j\,max}$; 180 эл. град. синус; единичный импульс	
U_R	Постоянное обратное напряжение	В	$0.6\cdot U_{RRM}$	T_j=$T_{j\,max}$;	
Тепловые параметры					
T_{stg}	Температура хранения	°C	–40...+50		
T_j	Температура p-n перехода	°C	–40...+160		
$T_{c\,op}$	Рабочая температура корпуса	°C	–40...+125		
Механические параметры					
a	Ускорение	м/с^2	50		

ХАРАКТЕРИСТИКИ

Обозначение и наименование характеристики		Ед. изм.	Значение	Условия измерения	
Характеристики в проводящем состоянии					
U_{FM}	Импульсное прямое напряжение, макс	В	1.50	T_j=25 °C; I_{FM}=2512 A	
$U_{F(TO)}$	Пороговое напряжение, макс	В	0.855	T_j=$T_{j\,max}$; 0.5 π I_{FAV} < I_T < 1.5 π I_{FAV}	
r_T	Динамическое сопротивление, макс	мОм	0.308		
Блокирующие характеристики					
I_{RRM}	Повторяющийся импульсный обратный ток, макс	мА	100 4.00	T_j=$T_{j\,max}$; T_j=25 °C	U_R=U_{RRM}
Динамические характеристики					
Q_r	Заряд восстановления, макс	мкКл	7820	T_j=$T_{j\,max}$; I_{FM}=I_{FAV}; dI_{FM}/dt=-5 A/μs; U_R=100 V	
t_{rr}	Время обратного восстановления, макс	мкс	93		
I_{rr}	Обратный ток восстановления, макс	А	168		

Тепловые характеристики					
R_{thjc}	Тепловое сопротивление p-n переход-корпус, макс				
	на модуль	°C/Вт	0.0400	180 эл. град. синус; 50 Гц	
R_{thch}	Тепловое сопротивление корпус-охладитель, макс				
	на модуль	°C/Вт	0.0100		
Характеристики изоляции					
U_{ISOL}	Электрическая прочность изоляции	кВ	3.00	синус; 50 Гц; действующее значение	t=60 с
			3.60		t=1 с
Механические характеристики					
M_1	Момент затяжки основания (М6)[1)]	Нм	6.00	Допуск ± 15%	
M_2	Момент затяжки выводов (М12)[1)]	Нм	18.00	Допуск ± 15%	
m	Масса, макс	г	2250		

МАРКИРОВКА

МД	1	-	950	-	44	-	Е	-	У2
1	2		3		4		5		6

1. МД – Диодный Модуль
2. Схема включения
3. Средний прямой ток, А
4. Класс по напряжению
5. Тип корпуса (М.х)
6. Климатическое исполнение по ГОСТ 15150: У2

ПРИМЕЧАНИЕ

[1)] Резьба должна быть смазана

Содержащаяся здесь информация является конфиденциальной и находится под защитой авторских прав.
В интересах улучшения качества продукции, АО «Протон-Электротекс» оставляет за собой право изменять информационные листы без уведомления.

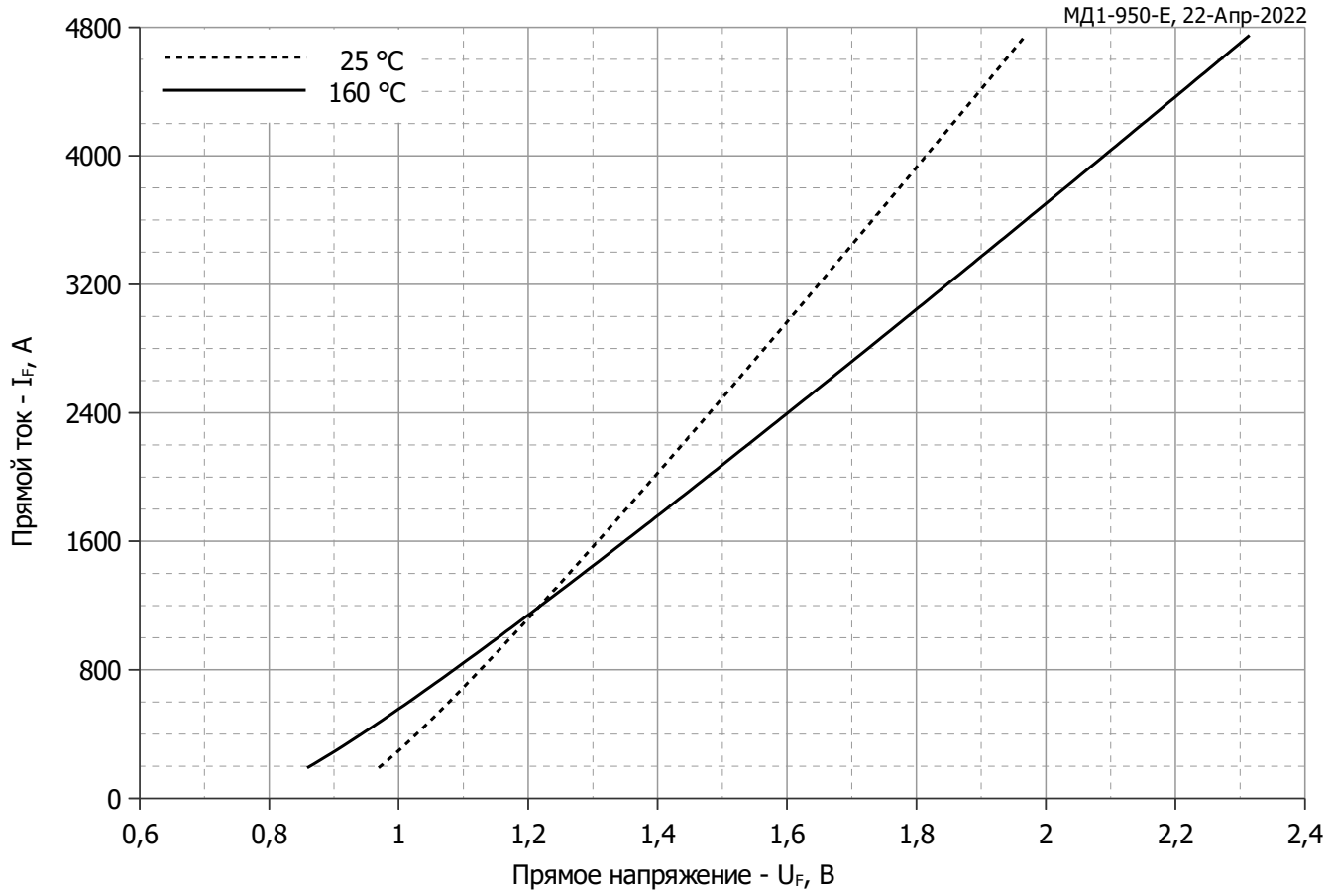

Рис. 1 – Предельная вольт – амперная характеристика

Аналитическая функция предельной вольт — амперной характеристики:

$$V_F = A + B \cdot i_F + C \cdot \ln(i_F + 1) + D \cdot \sqrt{i_F}$$

	Коэффициенты для графика	
	T_j = 25°C	$T_j = T_{j\,max}$
A	0.87298716	0.73259434
B	0.00018391	0.00026906
C	0.00464252	0.00398307
D	0.00265264	0.00391969

Модель предельной вольт – амперной характеристики (см. Рис. 1)

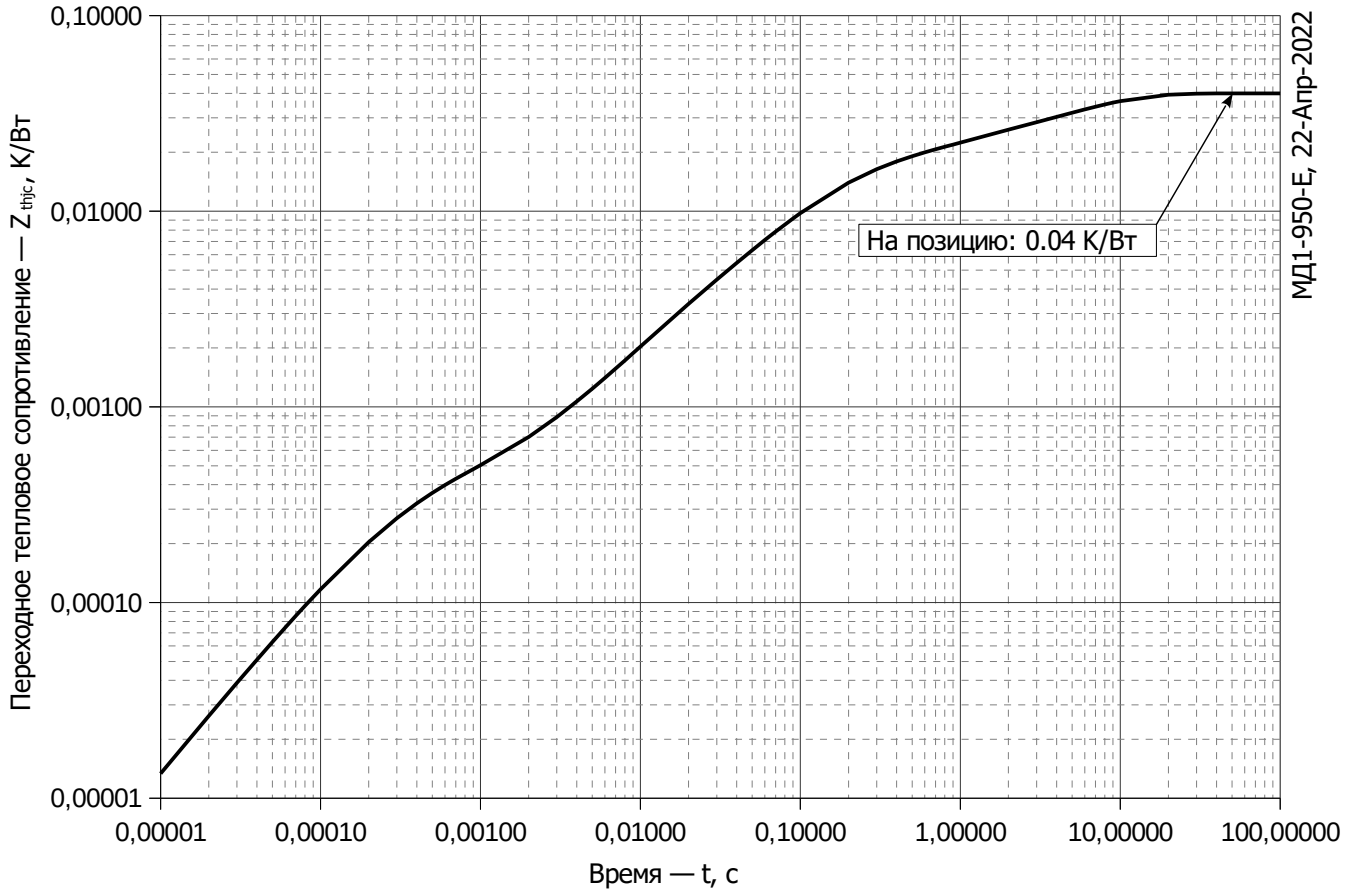

Рис. 2 – Зависимость переходного теплового сопротивления Z_{thjc} от времени t

Аналитическая зависимость переходного теплового сопротивления переход — корпус:

$$Z_{thjc} = \sum_{i=1}^{n} R_i \left(1 - e^{-\frac{t}{\tau_i}} \right)$$

Где ***i*** = 1 to ***n***, ***n*** – число суммирующихся элементов.

t = продолжительность импульсного нагрева в секундах.

Z_{thjc} = Тепловое сопротивление за время t.

R_i, τ_i = расчетные коэффициенты, приведенные в таблице.

i	1	2	3	4	5	6
R_i, K/W	0.0189958	0.005931	0.009502	0.004252	0.001006	0.0003132
τ_i, s	5.887	0.7389	0.1616	0.08215	0.01267	0.0002712

Модель переходного теплового сопротивления переход - корпус (см. Рис. 2)

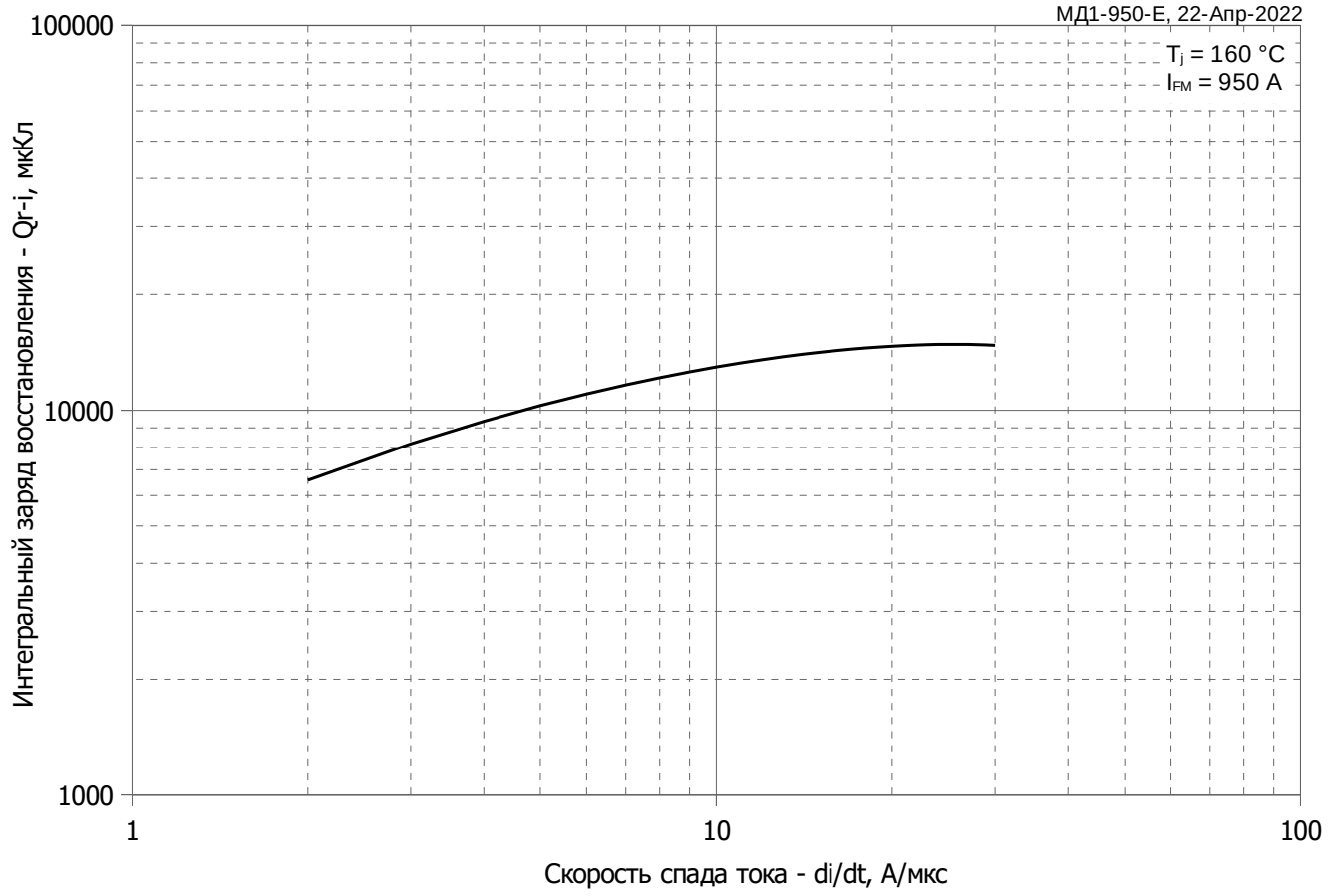

Рис. 3 – Зависимость максимального интегрального заряда восстановления Q_{r-i} от скорости спада прямого тока di_R/dt

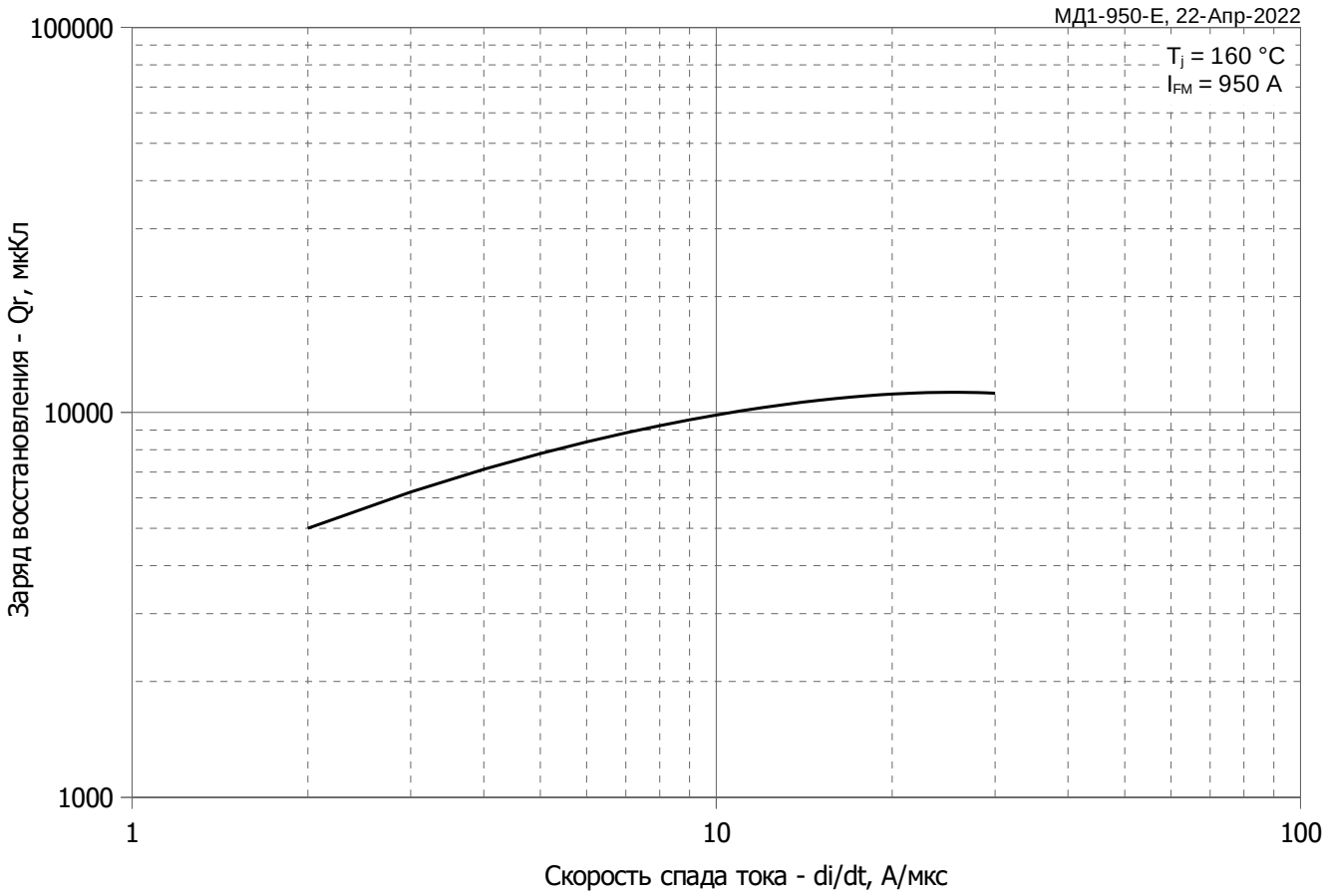

Рис. 4 – Зависимость максимального заряда восстановления Q_r от скорости спада прямого тока di_R/dt (по ГОСТ 24461, хорда 25%)

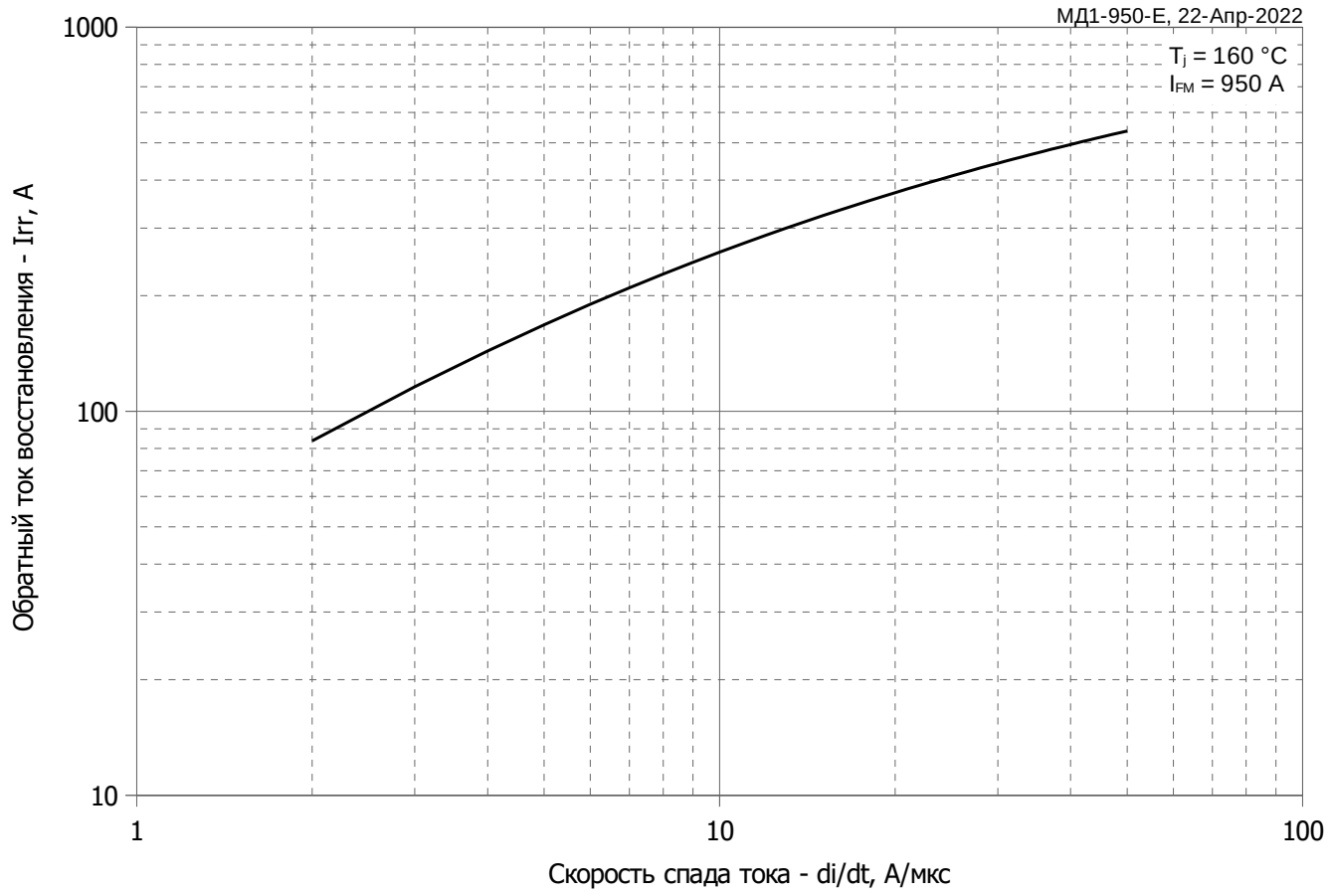

Рис. 5 – Зависимость максимального обратного тока восстановления I_{rr} от скорости спада прямого тока di_R/dt

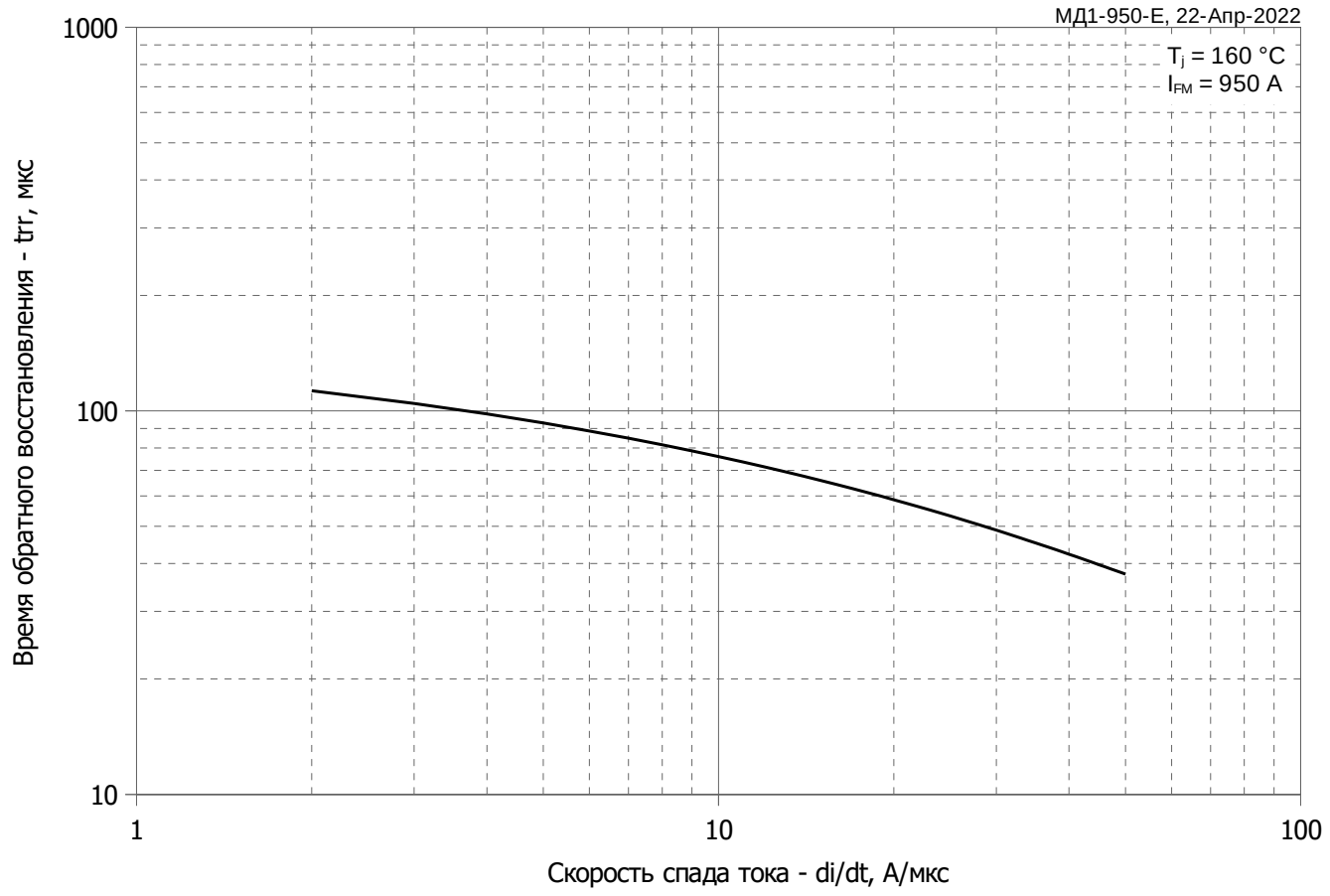

Рис. 6 – Зависимость максимального времени обратного восстановления t_{rr} от скорости спада прямого тока di_R/dt (по ГОСТ 24461, хорда 25%)

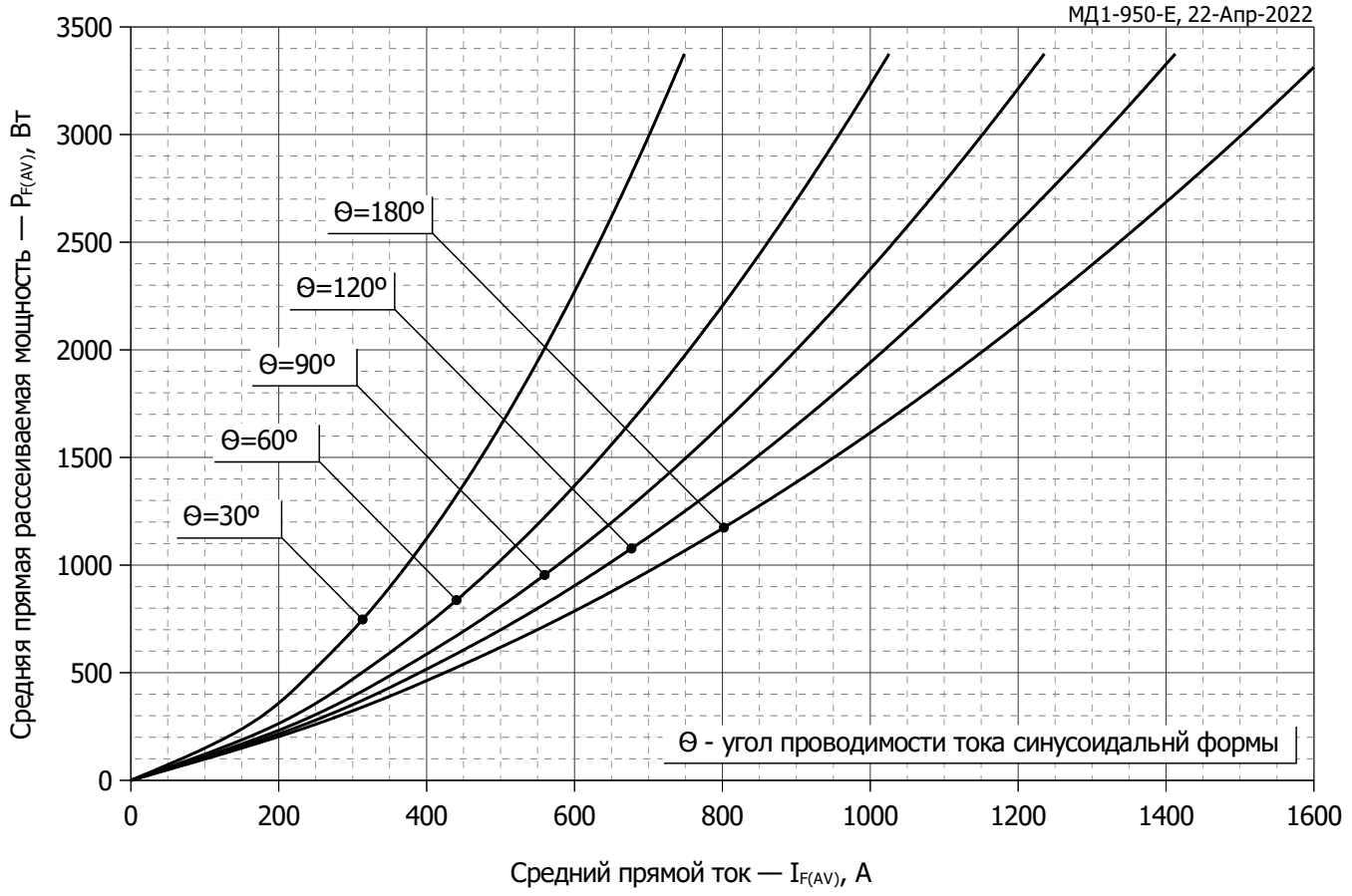

Рис. 7 - Зависимость потерь мощности P_{FAV} от среднего прямого тока I_{FAV} синусоидальной формы при различных углах проводимости (f=50 Гц)

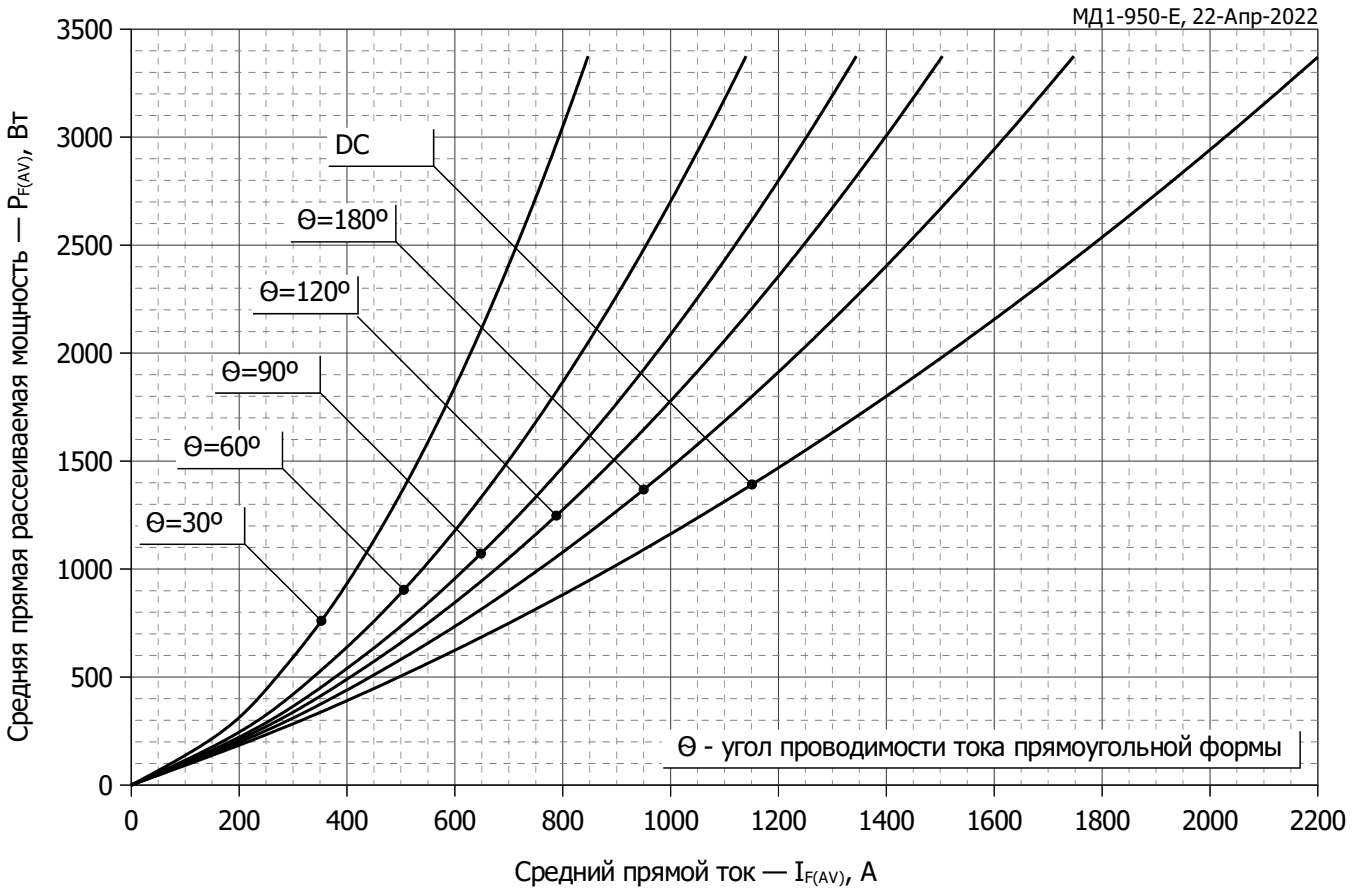

Рис. 8 – Зависимость потерь мощности P_{FAV} от среднего прямого тока I_{FAV} прямоугольной формы при различных углах проводимости (f=50 Гц)

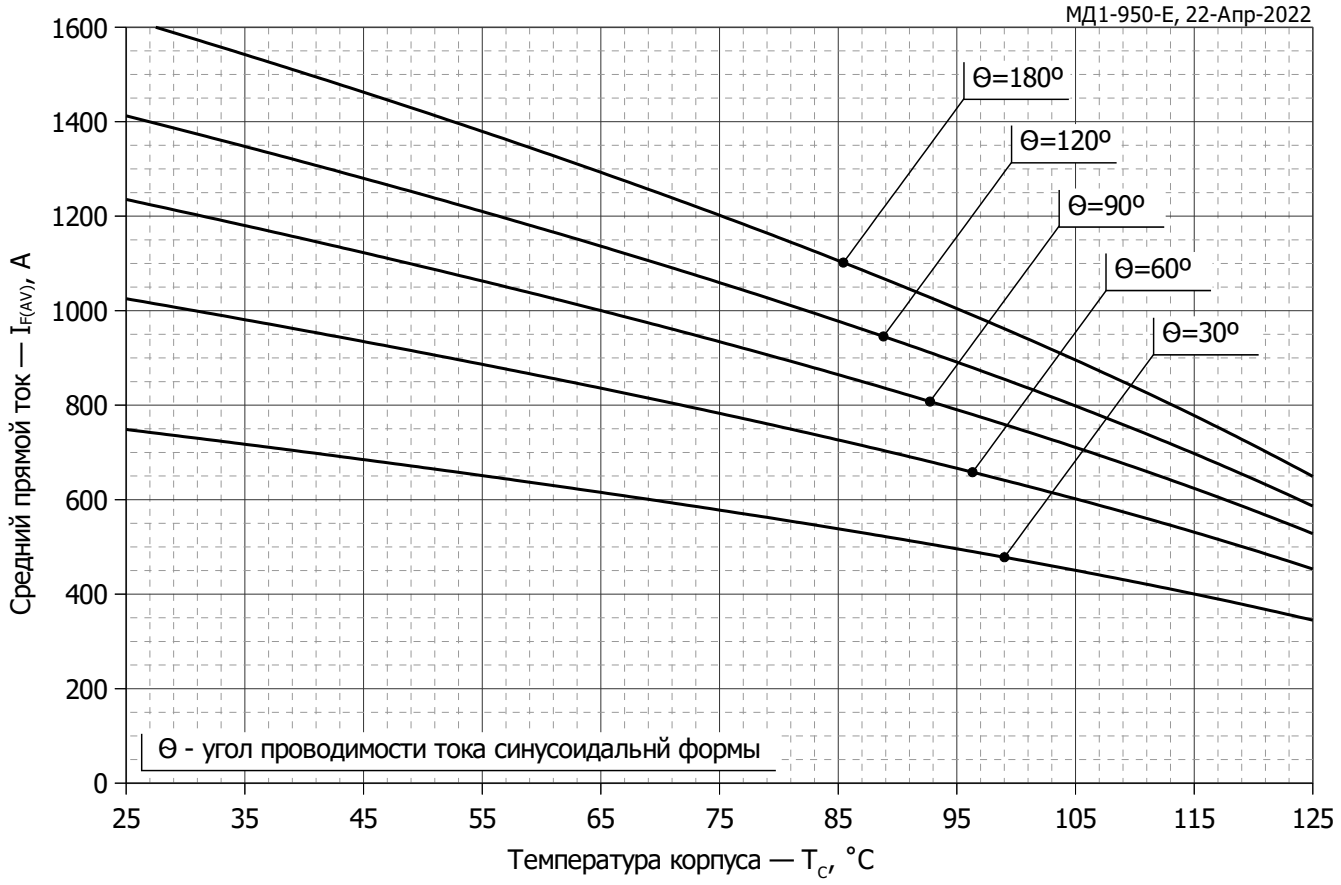

Рис. 9 – Зависимость среднего прямого тока I_{FAV} от температуры корпуса T_C для синусоидальной формы тока при различных углах проводимости (f=50 Гц)

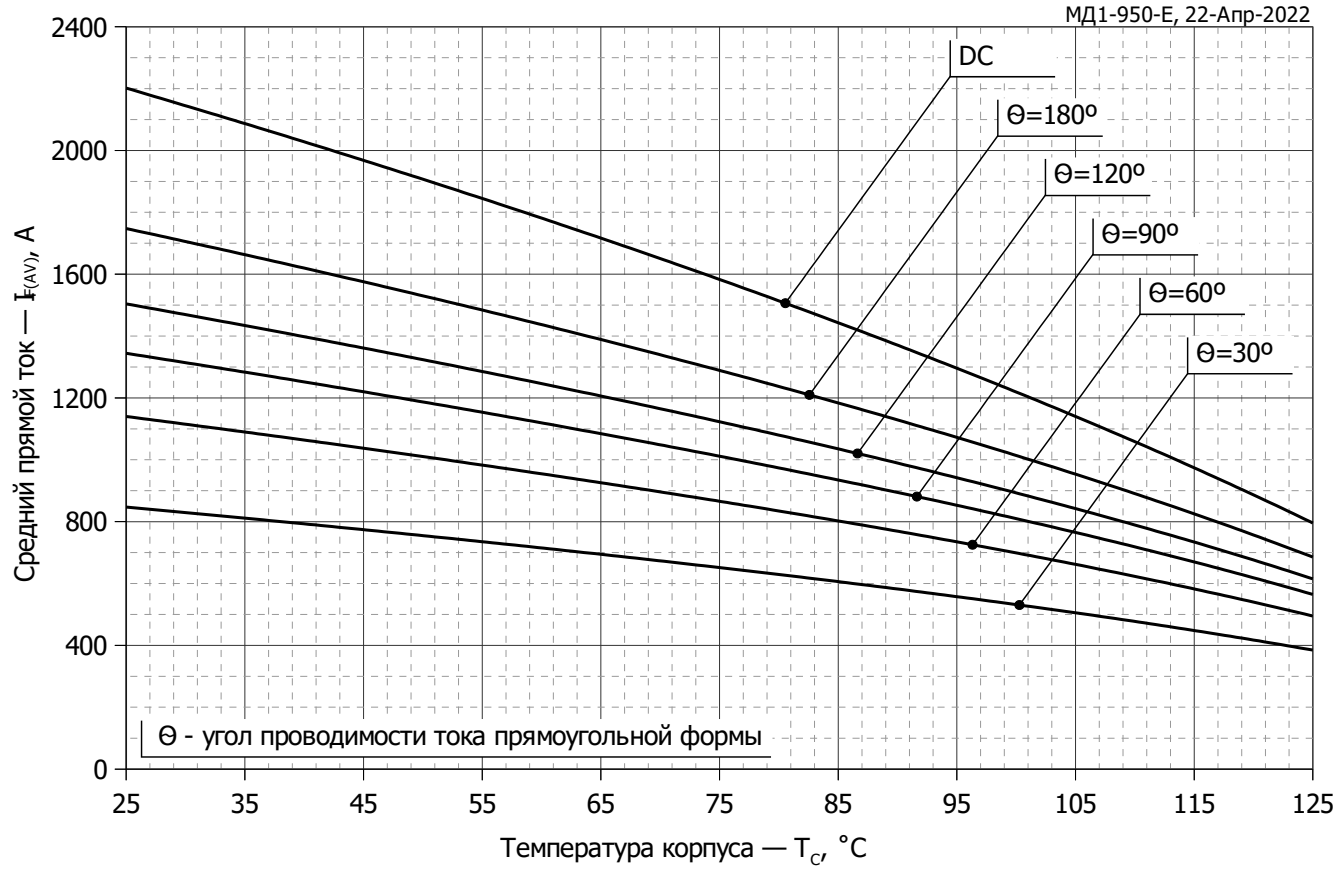

Рис. 10 - Зависимость среднего прямого тока I_{FAV} от температуры корпуса T_C для прямоугольной формы тока при различных углах проводимости (f=50 Гц)

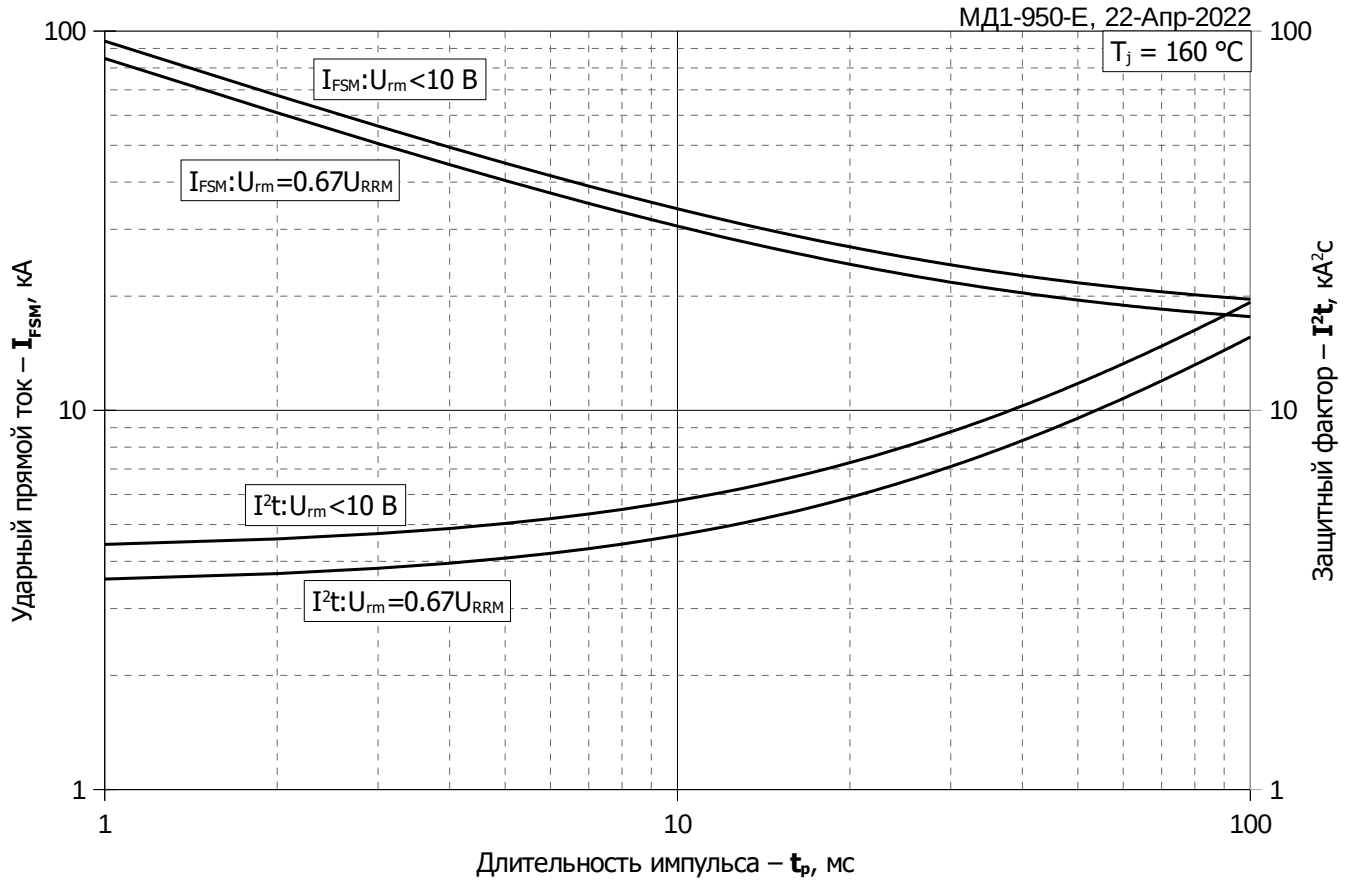

Рис. 11 – Зависимость максимальной амплитуды ударного прямого тока I_{FSM} и защитного фактора I^2t от длительности импульса t_p

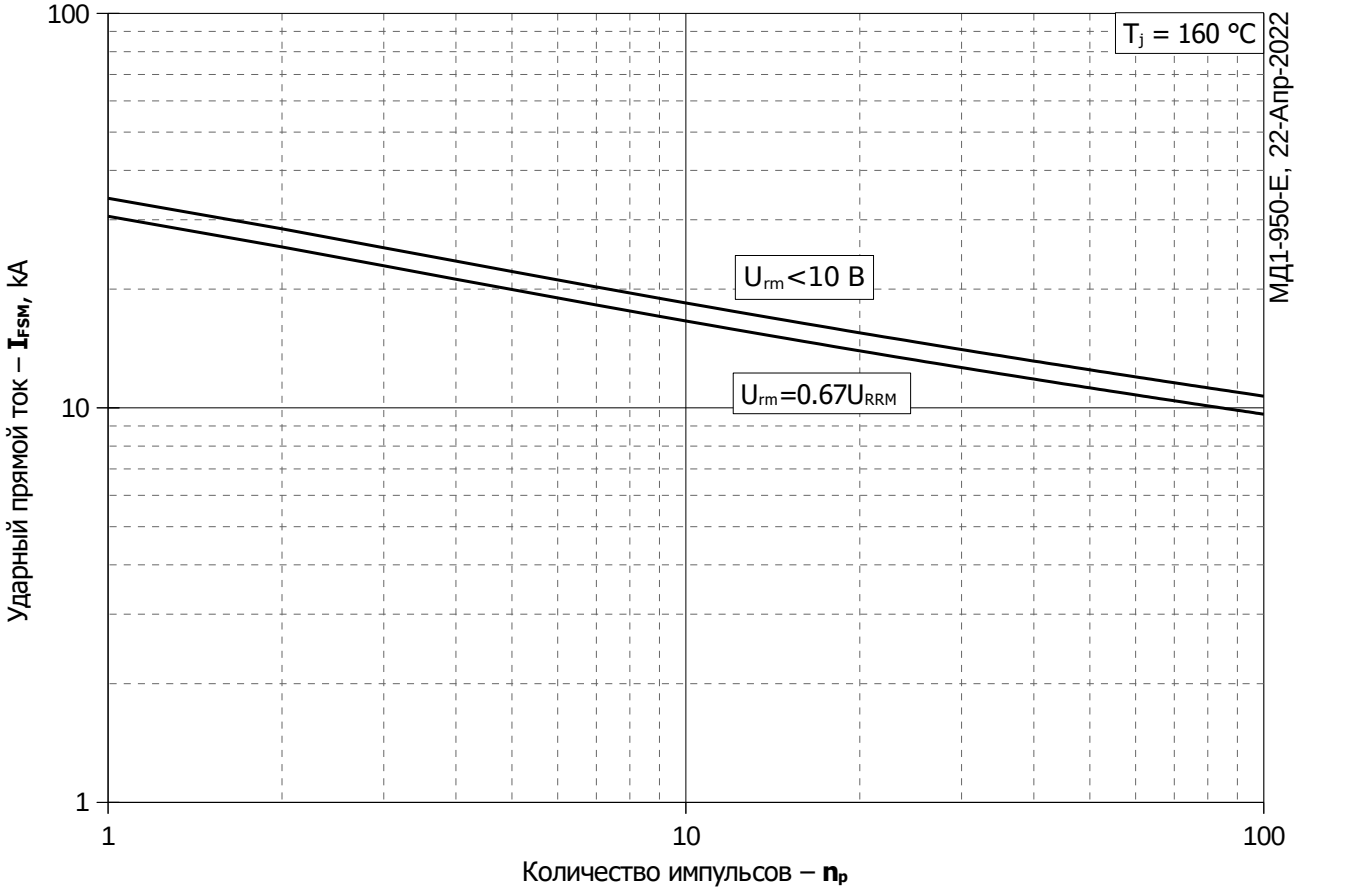

Рис. 12 – Зависимость максимальной амплитуды ударного прямого тока I_{FSM} от количества импульсов n_p